

肺靶向利福平聚乳酸微球的研究

张万国^{*} 蒋雪涛 朱才娟 胡晋红^{*}

(第二军医大学药学院; * 第二军医大学长海医院药剂科, 上海 200433)

摘要 在单因素考察的基础上进行正交试验设计, 筛选出肺靶向利福平聚乳酸微球的最佳制备工艺条件; 利用桨板法研究了微球的体外释药规律; 考察了微球在不同温度下的稳定性; 用新西兰兔为实验对象, 研究了利福平聚乳酸微球的体内药动学及组织药物分布。结果制得的微球形态圆整, 粒径在 5~15 μm 范围内的占总体积的 86.54%, 微球平均粒径为 $9.00 \pm 4.08 \mu\text{m}$; 包封率为 31.9%; 载药量为 16.0%; 体外释药方程为 $Q = 20.77 + 10.12 T^{1/2} (\gamma = 0.9892)$; 微球在冰箱 4℃ 和室温(20~25℃)条件下性质稳定; 体内实验表明微球具有长效和肺靶向双重作用。

关键词 利福平; 聚乳酸; 微球; 肺靶向

利福平(rifampicin, 简称 RFP)是临床常用的一种抗结核药物, 在体内分布广泛, po 剂量大, 不良反应多^[1], 且有效治疗浓度维持时间短, 容易诱发结核杆菌的耐药性, 降低临床治疗效果。本文以聚乳酸(PLA)为载体研制一种利福平聚乳酸微球(rifampicin-polylactic acid-microspheres, RFP-PLA-MS), 通过控制其粒径大小, 使其 iv 后能浓集于肺组织, 缓慢释放利福平, 有效杀伤结核杆菌, 提高利福平的疗效, 而全身药物浓度降低, 减少其毒副作用。此项研究国内外均未见报道。

材料和方法

仪器与药品 GS12-2 型电子恒速搅拌机; 800 型台式离心机; 日本 S-450 型电子扫描显微镜; 7530 型分光光度仪; 751G 型分光光度仪; RCD-6 型药物溶出仪; 810 高效液相色谱仪(Waters)。利福平, 上海五洲制药厂生产, 批号 930710, 质量符合中华人民共和国 1990 版药典; 聚乳酸, 分子量 25000, 山东医疗器械研究所生产, 化学纯; 甘油, 上海制皂厂生产, 药用规

格; 明胶、十二烷基硫酸钠, 购自上海化学试剂商店, 化学纯; 其他试剂为分析纯。

RFP-PLA-MS 的制备 PLA-MS 的制备有溶媒挥散法^[2]、溶媒萃取法^[3]、熔融法^[4]等。溶媒挥散法制备的 PLA-MS 表面光滑圆整, 本文在此基础上加以改进, 采用有机相分散、溶媒扩散二步法完成聚乳酸微球的制备。方法: 称取利福平和聚乳酸溶解于一定量的有机溶媒中, 在搅拌下缓缓加入分散介质中, 分散均匀, 再倾入扩散介质中, 搅拌至微球固化, 离心收集微球, 蒸馏水洗涤, 常压干燥即得。考虑到诸多因素对微球形成和质量的影响, 本文在单因素考察的基础上, 应用正交试验设计, 优选最佳制备工艺条件。

微球形态及粒度分布观察 用电子扫描显微镜和光学显微镜观察微球的外观形态。采用显微计数法^[5]考察微球的粒度分布, 每次计数不少于 500 粒。

微球包封率及载药量的测定 采用紫外分光光度法^[6], 称取适量干燥微球, 加入二甲基酰胺定量溶解, 在 340 nm 波长处测定吸收度, 按标准曲线方程 $A = 0.00893 + 0.03899C (\mu\text{mol} \cdot \text{L}^{-1}) (\gamma = 0.9999)$ 计算微球含药量, 方法回收率为 $100.12\% \pm 1.37\%$ 。微球包封率

=(微球中药物总量/投药量)×100%。

微球体外释药性能考察 采用桨板法^[7] 测定微球的体外释药性能。称取适量微球置于溶出杯内, 加生理盐水 900 ml, 恒温于 37 ± 0.5℃, 100 r·min⁻¹ 搅拌分散, 定时吸取滤液 5 ml, 按上述方法测定, 随即补加生理盐水 5 ml。根据利福平水溶液紫外吸收波长扫描图, 选择最大吸收峰波长 333 nm 测定吸收度, 按标准曲线法计算微球的累积释药量, 标准曲线方程为 $A = 0.00373 + 0.03809C(\mu\text{mol} \cdot \text{L}^{-1})$ ($\gamma = 0.9999$), 方法回收率为 100.04% ± 0.46%。

微球稳定性考察 将干燥的 RFP-PLA-MS 分别密闭封装于玻璃小瓶中, 于冰箱 4℃、室温(20~25℃)和烘箱 37℃ 条件下贮存 3 个月, 检查微球的形态、药物含量及体外释药等。

微球的体内药动学试验 取健康新西兰兔 12 只, ♂, 体重 2~2.5 kg, 随机分为两组, 每组 6 只。经耳缘静脉注射给药, 剂量 5 mg·kg⁻¹ (按 RFP 计), 给药前禁食 12 h。第 1 组注射利福平的丙二醇—水溶液, 第 2 组注射 RFP-PLA-MS 的生理盐水混悬液。定时于耳缘静脉取血, 分离血浆, 用高效液相色谱法测定血药浓度^[8]。

组织药物浓度测定及微球组织分布观察 取健康新西兰兔 60 只, ♂, 体重 2~2.5 kg, 随机分为两组, 每组 30 只, 按药动学方法分别注射利福平溶液和微球混悬液。在给药后 0.5, 2, 24, 72 和 168 h 分别每组处死 6 只, 取肝、肺、心、脾、肾组织各 1 g, 加 1 mol·L⁻¹ HCl 4 ml, 制备匀浆, 离心取上清液 2 ml, 加内标液(1.0 mg·ml⁻¹ 卡马西平甲醇溶液)40 μl, 摆匀, 用乙醚—二氯甲烷(3:2)混合液提取两次(5 ml × 2), 合并提取液, 于 40℃ 水浴氮气流下挥干, 残留物用甲醇 200 μl 溶解, 参照血药浓度测定方法, 取 25 μl 进样测定。方法标准曲线方程为 $Y = -0.001694 + 0.1695C(\mu\text{g} \cdot \text{g}^{-1})$, Y 值为利福平与内标物的峰面积比。方法回收率为 95.33% ± 2.38%, 最低检测限为 0.2 μg·g⁻¹。另外分别将肺、肝和脾组织制成病理石蜡切片, 观察微球在各组织内分布状况。

结 果

1 各因素对聚乳酸成球的影响

有机溶媒是微球形成的关键, 比较二氯甲烷、氯仿和乙酸乙酯对聚乳酸成球的影响, 结果表明用二氯甲烷作有机溶媒, 聚乳酸成球最佳。

分散介质粘度对 PLA-MS 粒径的影响很大, 本文以有机相分散、溶媒扩散二步法制备 PLA-MS, 微球粒径取决于有机相在分散介质中的分散度。分别用 1.5% 海藻酸钠水溶液、2.0% 甲基纤维素水溶液和甘油试验, 均可制得微球。其中以甘油为最优, 有机相分散均匀, 聚乳酸成球率高, 且易于控制粒径。

有机相与甘油的体积比为 2:40 时, 有机相分散良好; 比例为 1:40 时, 有机相液滴间有明显的粘连现象; 比例为 4:40 时, 聚乳酸成球效果差, 呈大量碎片状。

二氯甲烷/甘油分散体系在 0.5% 的聚乙烯醇(PVA)或十二烷基硫酸钠水溶液中稀释扩散, 微球聚集现象严重。以 0.5% 明胶水溶液作扩散介质, 可制得疏松分散的 PLA-MS。

在有机溶媒、分散介质、扩散介质、有机溶媒与分散介质体积比固定的条件下, 试验了搅拌速度对微球粒径的影响: 搅拌速度为 400, 500 及 600 r·min⁻¹ 时, 微球粒径分别为 10.55 ± 5.27, 9.00 ± 4.08 及 7.96 ± 3.96 μm, n = 3。结果显示加快有机相在分散介质中的搅拌速度, 微球的粒径减小。

根据以上考察结果, 选定利福平: 聚乳酸、搅拌速度、有机相在甘油中分散时间、分散体系在 0.5% 明胶水溶液中扩散时间, 作 L9 (3⁴) 正交试验设计, 以微球粒径分布、包封率和载药量作指标对试验结果进行评价分析, 得到最佳实验条件为利福平(g): 聚乳酸(g) 为 1:1, 搅拌速度为 500 r·min⁻¹, 分散时间为 10 min, 扩散时间为 10 min。在此条件下制得的微球, 形态圆整, 表面光滑(图 1), 微球平均粒径为 9.00 ± 4.08 μm, 在 5~15 μm 范围内的微球占总体积的 86.54%。微球包封率为

31.9%，载药量为 16.0%。

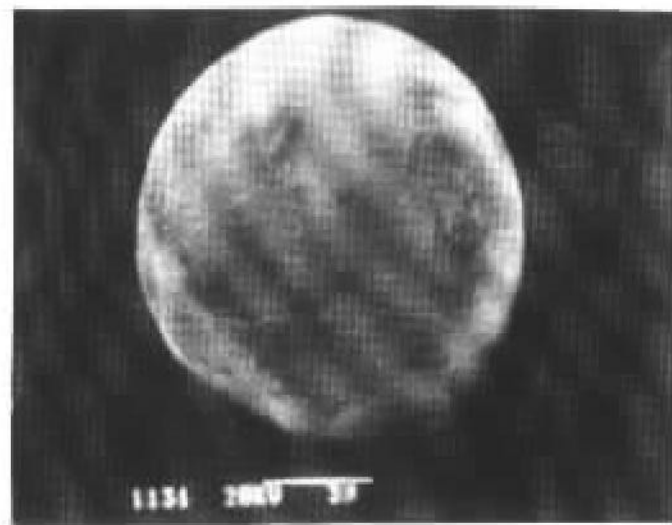


Fig 1 Microphotograph of RFP-PLA-MS by scanning electron microscope ($\times 4000$).

2 微球体外释药性能

以桨板法测定微球体外释药性能，结果见图 2，在最初 10 min 释药量达 20.37%，48 h 微球累积释药百分率为 85.14%，其释药动力学方程为 $Q = 20.77 + 10.12t^{1/2}$ ($\gamma = 0.9892$)。

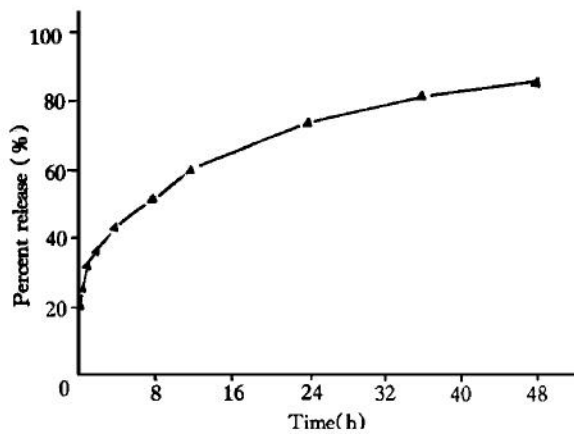


Fig 2 *In vitro* release of RFP from RFP-PLA-MS.

3 微球的稳定性

在冰箱 4℃ 和室温条件下放置 3 个月，微球的形态、含药量和体外释药未见明显变化(表 1)。37℃ 条件下，聚乳酸软化，微球彼此粘连成团，含药量也有下降。

Tab 1 Stability of RFP-PLA-MS at different temperatures ($n = 3$)

Temperature (℃)	Drug content (%)	
	0 month	3 months
4	15.96 ± 0.80	15.52 ± 0.27
20~25	15.98 ± 0.71	15.40 ± 0.50
37	15.91 ± 0.57	14.38 ± 0.92

4 微球体内药动学

血药数据经计算机 MCPKP 程序处理，药动学参数见表 2，血药浓度曲线见图 3。RFP-PLA-MS 组血药浓度相对平稳，血药浓度下降缓慢。给药后 24 h 血药浓度为 $0.72 \mu\text{g} \cdot \text{ml}^{-1}$ ，72 h 血药浓度为 $0.27 \mu\text{g} \cdot \text{ml}^{-1}$ ，仍然维持在利福平有效抑菌浓度范围内 ($0.02 \sim 0.5 \mu\text{g} \cdot \text{ml}^{-1}$)^[9]。利福平溶液组血药浓度快速下降，24 h 血药浓度为 $0.70 \mu\text{g} \cdot \text{ml}^{-1}$ ，48 h 血药浓度已低于方法最低检测限 $0.2 \mu\text{g} \cdot \text{ml}^{-1}$ 。

Tab 2 Pharmacokinetic parameters of RFP in rabbits after intravenous administration of RFP solution and RFP-PLA-MS at the dose containing RFP $5 \text{ mg} \cdot \text{kg}^{-1}$ ($n = 6$)

Parameter	RFP solution	RFP-PLA-MS
$C_0 (\mu\text{g} \cdot \text{ml}^{-1})$	9.50	1.90
A ($\mu\text{g} \cdot \text{ml}^{-1}$)	5.19	0.84
B ($\mu\text{g} \cdot \text{ml}^{-1}$)	4.32	1.06
$\alpha (\text{h}^{-1})$	0.38	0.15
$\beta (\text{h}^{-1})$	0.08	0.02
$T_{1/2\alpha} (\text{h})$	1.83	4.63
$T_{1/2\beta} (\text{h})$	9.07	35.27
AUC ($\text{mg} \cdot \text{h} \cdot \text{L}^{-1}$)	0.70	0.60

5 组织药物浓度分布

结果见图 4，溶液组药物在肝脏中分布最多，微球组药物主要集中在肺部，这与组织切片的观察结果相吻合，微球被机械截留于肺部毛细血管，而在肝组织切片和脾组织切片中未发现有滞留的微球。

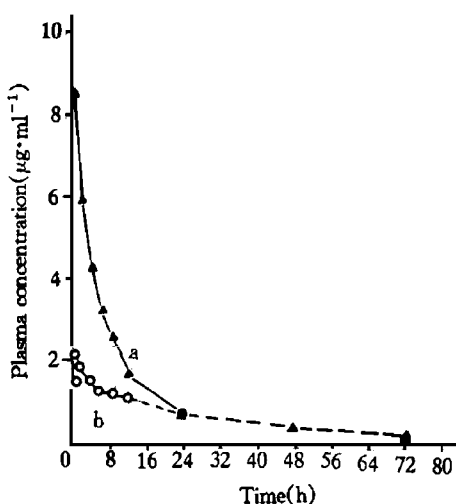


Fig 3 Plasma concentration of RFP in rabbits after iv RFP solution (a) and RFP-PLA-MS (b) at the dose of $RFP 5 \text{ mg} \cdot \text{kg}^{-1}$.

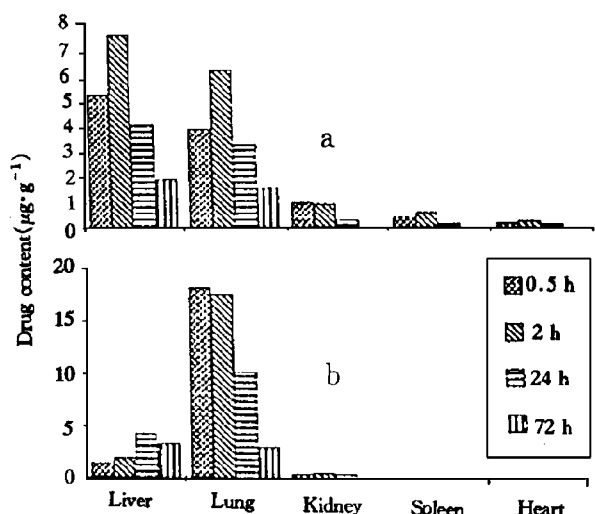


Fig 4 Tissue distribution of RFP in rabbits after iv RFP solution (a) and RFP-PLA-MS (b) at the dose of $RFP 5 \text{ mg} \cdot \text{kg}^{-1}$.

讨 论

静脉注射 RFP-PLA-MS 靶向肺组织的关键是控制微球的大小。文献报道^[10]粒径在 7~12 μm 的微球有明显的肺靶向效果。Pande 等^[11]发现粒径 4~6 μm 的微球有 62% 可滞留在肺部。王剑红等^[12]的研究结果表明, 粒径在 5.1~25.0 μm 的微球有良好的肺靶向性。我们制备的 RFP-PLA-MS 粒径在 5~15 μm , 经

动物试验证实微球主要蓄积在肺部。

使用本文方法制备 RFP-PLA-MS, 微球粒径较小, 药物扩散路径短, 随着二氯甲烷向水相扩散, 大大提高了药物在水中的溶解度, 药物迅速向水相扩散, 微球包封率仅达到 31.9%。

有机相中利福平浓度对其粘度影响显著, 利福平浓度越高, 微球粒径分布范围越广, 集中趋势减弱。当利福平浓度达 20% 时, 有机相过于粘稠, 难以在甘油中分散成球。

比较 iv 利福平溶液和微球混悬液后体内血药浓度及组织浓度变化, 结果表明 RFP-PLA-MS 具有明显的长效作用, 其分布相和消除相半衰期分别是微球组的 2.53 倍和 3.89 倍, 且药物主要集中在肺组织, 鼓励我们将对 RFP-PLA-MS 的治疗效果作进一步研究。

参 考 文 献

- 徐叔云. 临床用药指南. 合肥: 安徽科学技术出版社, 1987: 163
- Juni K, Ogata J, Matsui N, et al. Control of release rate of bleomycin from poly(lactic acid) microspheres by additives. *Chem Pharm Bull*, 1985, **33**: 1609
- Leelarasamee N, Howard SA, Malanga CJ, et al. A method for the preparation of poly(lactic acid) microcapsules of controlled particle size and drug loading. *J Microencapsul*, 1988, **5**: 147
- Wichert B, Rohdewald P. A new method for the preparation of drug containing poly(lactic acid) microparticles without using organic solvents. *J Controlled Release*, 1990, **14**: 269
- Gallo JM, Hung CT, Perrier DG. Analysis of albumin microsphere preparation. *Int J Pharm*, 1984, **22**: 63
- 张万国, 蒋学涛. 利福平聚乳酸微球的制备. 第二军医大学学报, 1996, **17**: 395
- Jun HW, Lai JW. Preparation and *in vitro* dissolution tests of egg albumin microcapsules of nitrofurantoin. *Int J Pharm*, 1983, **16**: 65
- 张万国, 蒋学涛, 朱才娟. 高效液相色谱法测定兔血浆中利福平浓度及药物动力学研究. 中国抗生素杂志, 1996, **21**: 273
- 王爱平, 蒋福林, 郑德良, 等. 利福平尿排出量的测定——两种服法的比较观察. 吉林医学, 1986, **7**: 128
- Kanke M, Simmous GH, Weiss DL, et al.

Clearance of ^{141}Ce labeled microspheres from blood and distribution in specific organs following intravenous and intraarterial administration in Beagle dogs. *J Pharm Sci*, 1980, **69**:755

- 11 Pande S, Vyas SP, Dixit VK. Localized rifampicin albumin microspheres. *J Microencapsul*, 1991, **8**:87
- 12 王剑红, 陆彬, 胥佩菱, 等. 肺靶向米托蒽醌明胶微球的研究. *药学学报*, 1995, **30**:549

STUDY ON THE RIFAMPICIN POLYLACTIC ACID MICROSPHERES FOR LUNG TARGETING

Zhang Wanguo(Zhang WG)^{*}, Jiang Xuetao(Jiang XT), Zhu Caijuan(Zhu CJ) and Hu Jinhong(Hu JH)^{*}

(School of Pharmacy, Second Military Medical University, Shanghai 200433; ^{*}Department of Pharmacy, Changhai Hospital, Second Military Medical University, Shanghai 200433)

ABSTRACT In this paper, the effects of different variables on the preparation of polylactic acid microspheres (PLA-MS) were studied. The optimized preparation conditions of rifampicin polylactic acid microspheres (RFP-PLA-MS) were acquired through orthogonal test. The paddle method was used to study the drug release properties of RFP-PLA-MS. Stability of RFP-PLA-MS at different temperatures was also studied. Pharmacokinetic and tissue distribution of RFP-PLA-MS after intravenous administration were carried out in rabbits. The experiments revealed that the RFP-PLA-MS was regular in its morphology with a mean diameter of $9.00 \pm 4.08 \mu\text{m}$. The drug loading was 16.0% and encapsulation efficiency was 31.9%. The release properties could be expressed by the following equation: $Q = 20.77 + 10.12 T^{1/2} (\gamma = 0.9892)$. The RFP-PLA-MS was stable after stored at 4°C and room temperature under desiccated condition for three months. RFP-PLA-MS showed a combination of lung targeting and sustained drug release in experiments on rabbits.

KEY WORDS Rifampicin; Polylactic acid; Microspheres; Lung targeting